

막두께 변화에 따른 AZO 박막의 특성 연구

김현웅, 김민종, 이원재^{*}, 장경욱^{*}, 최형욱, 김경환

경원대학교, 경원전문대학^{*}

A study on characteristics of AZO thin film by variation of thickness

H.W. Kim, M.J. Keum, W.J. Lee^{*}, K.U. Jang^{*}, H.W. Choi, and K.H. Kim

Kyungwon Uni, Kyungwon Collage^{*}

Abstract

In this study, AZO(ZnO:Al) thin film were prepared by FTS(Facing Target Sputtering) system. The electrical, optical properties and crystalline of AZO thin film with thickness have been investigated. The thickness, transmittance, crystalline and electrical properties of AZO thin film were measured by a step, UV-VIS spectrometer, hall effect measurement system, XRD and four-point probe, respectively. As a result, AZO thin film deposited with the transmittance over 80% and the resistivity about 10^{-4} $\Omega\text{-cm}$.

Key Words : AZO(ZnO:Al), FTS, TCO, resistivity, transmittance

1. 서 론

언제, 어디서나, 누구든 정보의 혜택을 받을 수 있다는 유비쿼터스(ubiquitous) 시대의 도래를 맞이하면서, 각종 기기와 인간의 인터페이스 역할을 하는 디스플레이의 중요성이 부각되고 있다. 특히 장소에 구애를 받지 않고 정보 검색이 가능한 유비쿼터스의 실현을 위해 휴대성이 좋은 단말기들이 많이 출시되고 있다. 이들은 휴대용 단말기라는 특성상 가능한 얇고, 전력 소비가 적으며, 효율이 좋아야 한다. 따라서 이를 뒷받침하기 위한 연구가 많이 되고 있는 실정이다. 현재 주목받고 있는 디스플레이의 한 종류로서 OLED를 손꼽을 수 있으며, 이 외에도 PDP, FED, TFT-LCD등이 있다. 이들 디스플레이에 적용되는 기판재료의 구조는 하부(혹은 상부)에 투명 전극이 사용되고 있는 구조로서 거의 동일하다고 할 수 있다. 현재 연구되

고 있는 투명 전도막으로는 IZO, AZO, ATO등이 있다.

AZO(ZnO:Al)는 투광성과 전기전도성이 우수하며 원료의 가격이 비교적 낮아서 투명저도막 재료로 많은 주목을 받고 있다. 또한 비저항이 10^{-4} $\Omega\text{-cm}$ 대의 셈플 제작이 가능하며, 가시광 영역에서의 광투과율 역시 80% 이상의 높은 수치를 보여주고 있다.

이러한 AZO박막을 제작하는 방법에는 CVD법 [1], 진공증착법[2], 스퍼터링법[3] 등이 있는데 주로 스퍼터링법이 많이 연구되고 있다. 스퍼터링법으로 AZO 박막을 제작하는 경우, 증착 조건에 의해 결정학적·전기적·광학적 특성이 영향을 받게 된다[4]. 본 연구에서는 박형 디스플레이를 위한 전극의 두께에 따른 특성을 알아보기 위해, 투입 전류를 0.4A와 0.6A로 변화시켜가며 다양한 두께로 증착한 AZO (ZnO:Al) 박막의 광학적, 결정학적, 전기적 특성을 알아보았다.

2. 실험

2.1 실험장치

본 연구에서는 기판의 손상이 없고 낮은 압력에서도 안정된 방전이 가능한 대향타겟식 스퍼터링 시스템을 이용하여 AZO박막을 제작하였다. 그림 1은 본 연구에서 사용한 대향타겟식 스퍼터링 시스템의 그림이다.

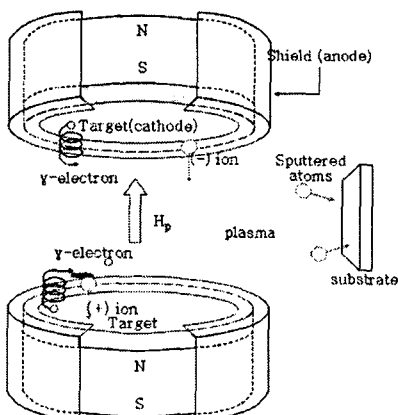


그림 1. FTS 장치

Fig 1. FTS apparatus

그림과 같이 두 장의 타겟이 서로 마주보고 있으며, 양 타겟의 뒷면에 영구자석이 장착되어 타겟 표면에 수직으로 자계가 분포된다. 그리고, 양 타겟은 서로 반사전극의 역할을 하여 γ -전자의 이동거리가 기존의 스퍼터링법 보다 길며, 분위기 가스의 이온화율이 높아 고밀도의 플라즈마를 형성하므로 높은 증착율과 0.1mTorr의 낮은 가스 압에서도 안정적인 방전을 유지할 수 있다[5~7].

2.1 실험조건

대향타겟식 스퍼터링 시스템을 이용하여 AZO 박막을 제작하기 위해서 Zn(5N), ZnO:Al ($\text{Al}_2\text{O}_3:2\text{wt}\%$)의 디스크형 타겟($100\varnothing \times 10\text{mm}$)과 slide glass 기판을 사용하였다. 유입되는 가스로는 아르곤(5N)과 산소(5N)의 혼합 가스를 사용하였다. 제작된 막의 두께는 α -step(Tencor), 비저항은 4-point probe (Chang-min), 박막의 결정학적 특성은 X-선 회절분석기(Rigaku), 광학적 특성은 UV-VIS spectrometer(HP), 그리고 Hall Effect Measurement system(EGK)로 Hall 특성을 분석하였다.

였다.

표 1. 스퍼터링 조건

Table 1. Sputtering Conditions

| Deposition parameter | Conditions |
|------------------------------|--|
| Targets | Zn(5N) ZnO:Al($\text{Al}_2\text{O}_3:2\text{wt}\%$) |
| substrate | slide glass |
| target-target distance | 100mm |
| target-substrate distance | 100mm |
| Base pressure | 2×10^{-3} mTorr |
| Working gas pressure | 1mTorr |
| O ₂ gas flow rate | $0.2 \text{ O}_2 / (\text{O}_2 + \text{Ar})$ |
| thickness | 50 ~ 750 nm |
| Substrate temperature | R.T |
| Sputtering current | 0.4A, 0.6A |

3. 결과 및 고찰

그림 2, 3은 각각 투입전류 0.4A와 0.6A에서 두께를 변화시켜가며 증착한 막의 XRD 패턴이다. 막 두께가 증가함에 따라서 XRD 피크의 강도 또한 높아진다는 것을 알 수 있었다. 50nm의 경우 두 가지 조건 모두 다 막이 기판위에 island의 형태로 존재하기 때문에 XRD 피크가 낮게 나온 것이라 사료된다.

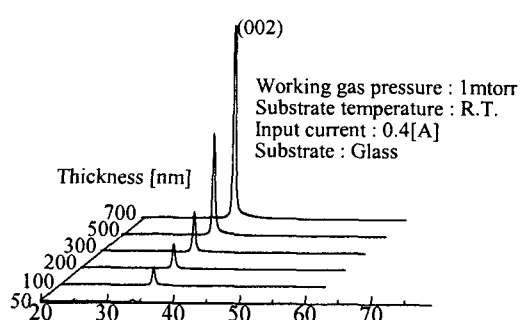


그림 2. 투입전류 0.4A에서 증착한 AZO 박막의 XRD 패턴

Fig 2. XRD patterns of AZO thin film at 0.4A

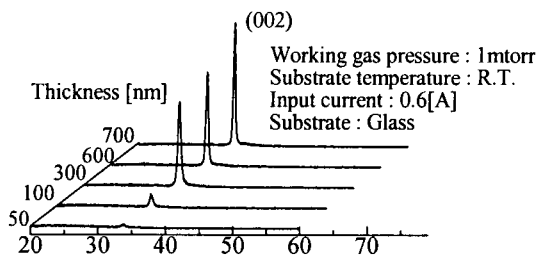


그림 3 투입 전류 0.6A에서 증착한 AZO 박막의 XRD 패턴

Fig 3 XRD patterns of AZO thin film at 0.6A

그림 4와 5는 각각 0.6A에서 증착한 AZO막의 비저항과 이동도 및 캐리어 농도를 나타낸 것이다. 그림에서도 나타난 것과 같이 AZO막의 비저항은 막의 두께보다는 캐리어 농도와 이동도에 더욱 의존적이었다.

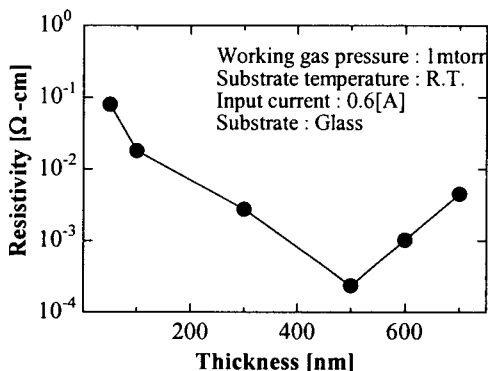


그림 4. 투입 전류 0.6A에서 증착한 AZO 박막의 비저항

Fig 4. Resistivity of AZO thin film at 0.6A

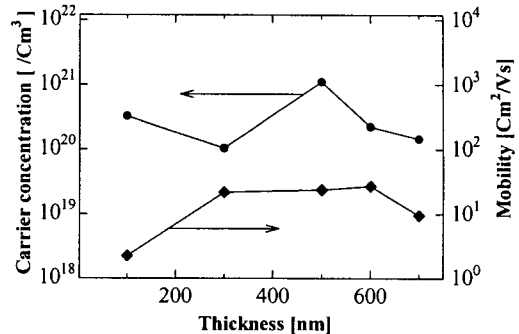


그림 5. 투입 전류 0.6A에서 증착한 AZO 박막의 캐리어 농도와 이동도

Fig 5. Carrier concentration and mobility of AZO thin film at 0.6A

광투과율의 경우 투입 전류와는 상관없이 가시광 영역에서 전반적으로 80% 이상이었다. 이것은 AZO막의 투과율이 투입 전류에는 독립적이라는 것을 보여준다. 두께가 200nm 이하인 막의 경우 350nm이하의 자외선 영역을 화실하게 차단하지 못했다. 그러나, 가시광 영역에서는 두께에 상관없이 모두 80% 이상의 높은 투과율을 보여주었다.

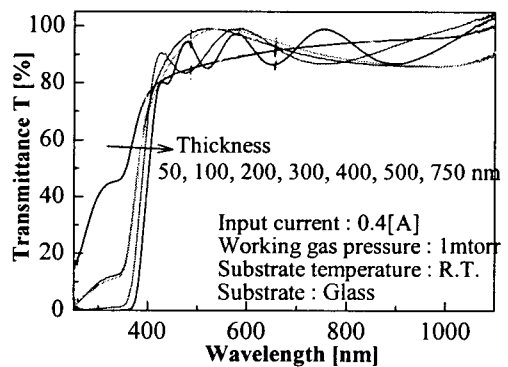


그림 6. 투입 전류 0.4A에서 증착한 AZO 박막의 투과율

Fig 6. Transmittance of AZO thin film at 0.4A

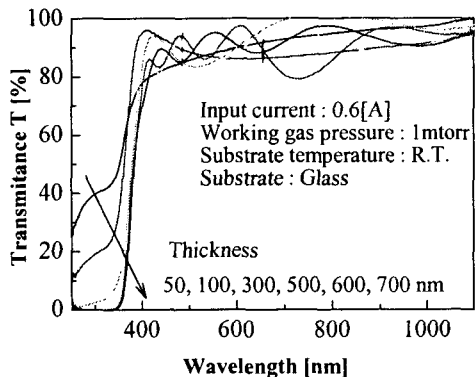


그림 7. 투입전류 0.6A에서 증착한 AZO 박막의 투과율

Fig 7. Transmittance of AZO thin film at 0.6A

4. 결 론

FTS장치를 사용하여 투입전류와 증착된 막의 두께를 변화시켜가며 AZO박막을 제작하였다. 전체적으로 80% 이상의 광투과율을 보여주는 우수한 막이 제작되었다. 막의 투과율은 투입전류에 독립적이었다. 두께에 따라서 적외선 영역을 차단 정도는 차이를 보이고 있었으나, 가시광 영역에서는 우수한 우수한 특성을 보이고 있다. 0.4A에서 제작된 막의 경우 비저항이 높게 나왔으나, 0.6A에서 제작된 막의 경우 비저항이 $10^{-4}\Omega\cdot\text{cm}$ 대로 우수한 막이나왔다. 막의 두께에 대한 비저항의 의존도는 낮게 보였으며, 캐리어 농도와 이동도에 많은 영향을 받는다는 것을 알 수 있었다.

vapor deposition technique', Masaru Shimizu, Yoojiro Matsueda, Tadashi Shiosaki and Akira Kawabata, J. of Crystal Growth, 71, 209, 1991

- [3] 'Transparent and conducting ZnO(:Al) films deposited by simultaneous RF- and DC-excitation of a magnetron', K. Ellmer, R. Cebulla and R. Wendt, Thin Solid Films, Vol.317, p. 413-416, 1998
- [4] 'Influence of oxygen partial pressure on transparency and conductivity of RF sputtered Al-doped ZnO thin films', Takashi Tsuji, Mitsuji Hirohashi, Applied Surface Science 157, p. 47-51, 2000
- [5] 'Thin film properties by facing targets sputtering system ', K.H.Kim, M.J.Keum, Applied Surface Science 169-170, p. 410~414, 2001
- [6] '대향타겟스퍼터링에 의한 Co-Cr 박막의 제작', 김경환, 손인환, 금민종, 전기전자재료학회 논문지, 11, 5, p. 418-422, 1998
- [7] '대향타겟스퍼터링법에 의한 FBAR용 AZO(AnO:Al) 박막의 제작', 금민종, 김경환, 전기전자재료학회 논문지, 17, 4, p. 422, 2004

참고 문헌

- [1] 'Thin films of high-resistivity zinc oxide produced by a modified CVD method', M. Labl\ea, P. Rey, J. L. Deschanvres, J.C. Joubert and G. Delabougline, Thin Solid Films, Vol.213, p. 94-98, 1992
- [2] 'Growth of ZnO films by the plasma-enhanced metalorganic chemical